

## Aula 7 - Laboratório de Controle - 2022/1

### Sistemas discretos: discretização e estabilidade

Nome(s): Gabriel Boasquives e Gabriel Falcone

```
I=4 ;  
turma=1 ;  
g=init(turma,I)
```

g =

```
      57.6  
-----  
s^2 + 16 s + 64
```

Continuous-time transfer function.

```
datetime('now')
```

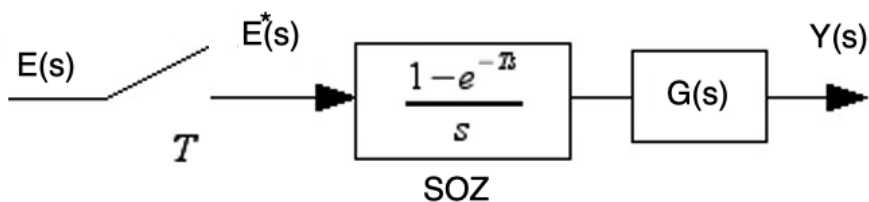
```
ans = datetime  
      22-Jun-2017 08:54:44
```

Nesta aula um sistema contínuo será discretizado e analisado em malha aberta e malha fechada.

### Atividade 1 - Discretização da FT de malha aberta

Dada a FT contínua  $G(s)$ , a FT discreta  $G(z)$  é obtida de  $G(z) = Z\left[\frac{1 - e^{-Ts}}{s} G(s)\right]$ . Nos instantes de amostragem, a saída discretizada e a contínua são iguais.

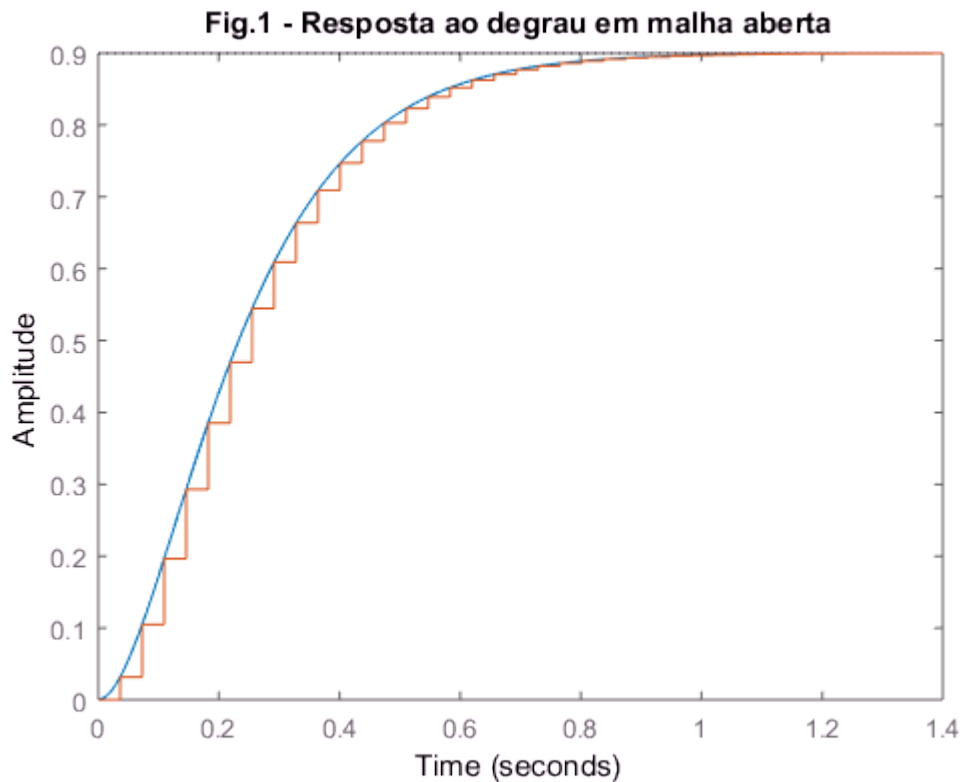
O tempo de amostragem usado aqui será  $1/20$  do tempo de estabelecimento  $t_s$ , que equivale a  $1/5$  da constante de tempo. Logo, o tempo de amostragem  $T = t_s/20$  será usado para obter a FT discretizada  $G_d(G(z))$ .



```
S=stepinfo(g);  
T=S.SettlingTime/20
```

T = 0.0365

```
gd=c2d(g,T);  
figure  
step(g,gd);title('Fig.1 - Resposta ao degrau em malha aberta')
```



1.1 Sabendo que a discretização mapeia um polo em  $s = -a$  mapeia o polo do plano  $s$  para o polo do plano  $z$  em  $z = e^{-aT}$ , ou seja,  $G(z) = Z\left[\frac{1}{s+a}\right] = \frac{z}{z - e^{-aT}}$  compare os polos de  $g$  e de  $gd$ .

Resposta: Utilizando a função *pole* do MATLAB podemos ver que os polos da função  $g$  são -8 e -8. Fazendo o mesmo processo para  $gd$  encontramos os polos de  $gd$  em -0.7470 e -0.7470. Realizando o cálculo de  $z = e^{-aT}$ , é possível confirmar a relação entre as raízes.

```
pole(g)
```

```
ans =  
-8  
-8
```

•

```
pole(gd)
```

```
ans =  
0.7470  
0.7470
```

•

1.2 Sabendo que sistemas contínuos com resposta rápida têm polos no semiplano esquerdo longe da origem, onde estão os polos de sistemas discretos rápidos? (Dica: usar a expressão de 1.1).

Resposta: Supondo um polo  $a = -1$  e um polo em  $a = -10$  podemos realizar a comparação e conferir que os pontos, dentro do círculo unitário e próximos da origem conferem uma resposta mais rápida ao sistema do que os que estão afastados da origem e dentro do círculo unitário

```
a1 = -1;  
a2 = -10;  
exp(a1*T)
```

```
ans = 0.9642
```

```
exp(a2*T)
```

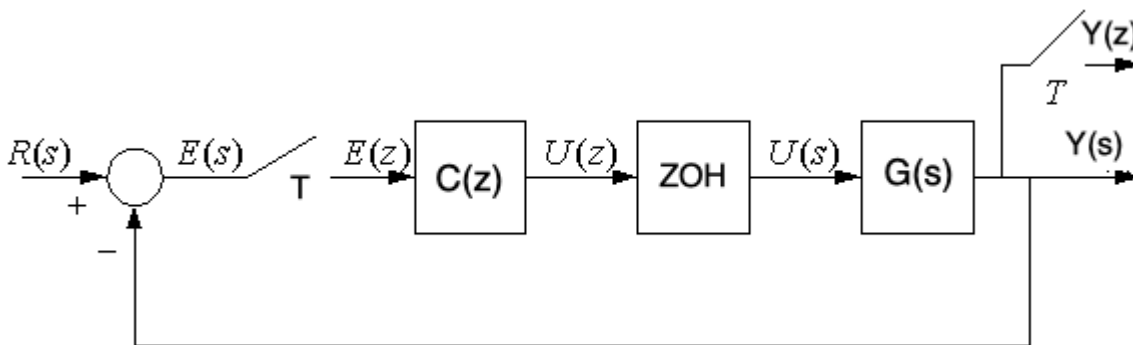
```
ans = 0.6945
```

## Atividade 2 - Avaliação do efeito do ganho no caso contínuo e no caso discreto

Em malha fechada, o controlador discreto  $C(z)$  é aplicado ao sistema contínuo dado pela FT  $G(s)$ . Um segurador de ordem zero (SOZ) mantém o sinal de controle  $U(s)$  aplicado constante entre instantes de amostragem  $T$ .

A função de transferência discreta de malha fechada para o diagrama abaixo é dada por

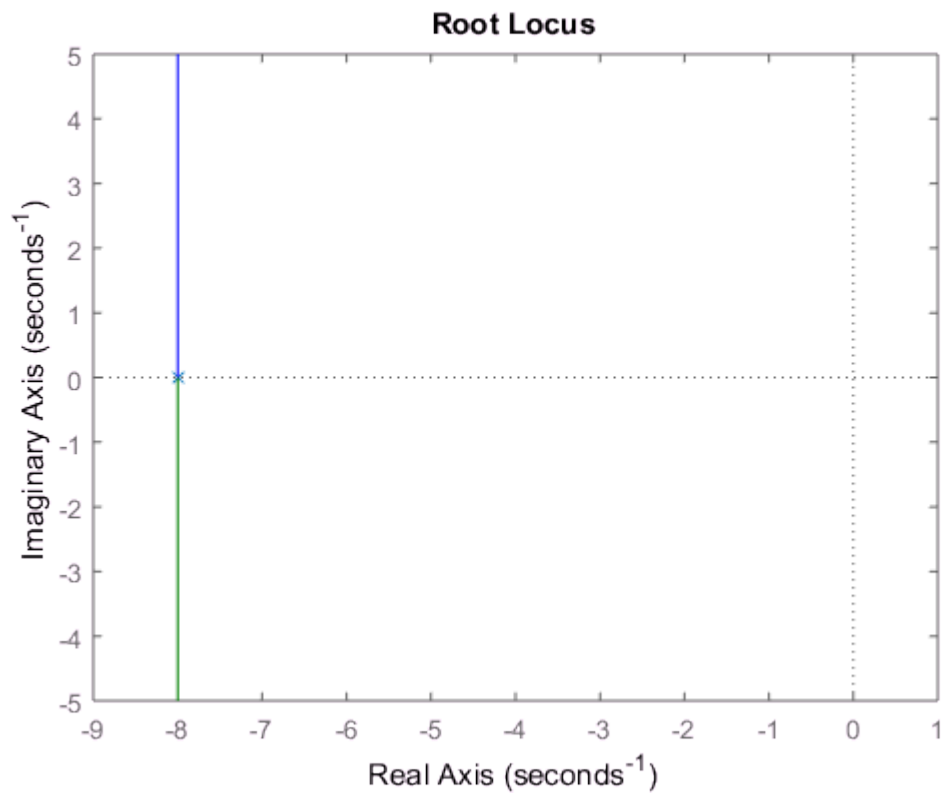
$$M(z) = \frac{C(z)G(z)}{1 + C(z)G(z)}, \text{ com } G(z) = Z\{SOZ * G(s)\}.$$



Nesta atividade se avalia a diferença do comportamento do sistema contínuo e discreto em malha fechada quando o ganho varia, fazendo,  $C(z) = K$ .

2.1 Use o comando `rlocus` e avalie o efeito do aumento do ganho  $K$  nos polos do sistema contínuo em malha fechada, ou seja, o efeito de  $K$  em  $1 + KG(s) = 0$ .

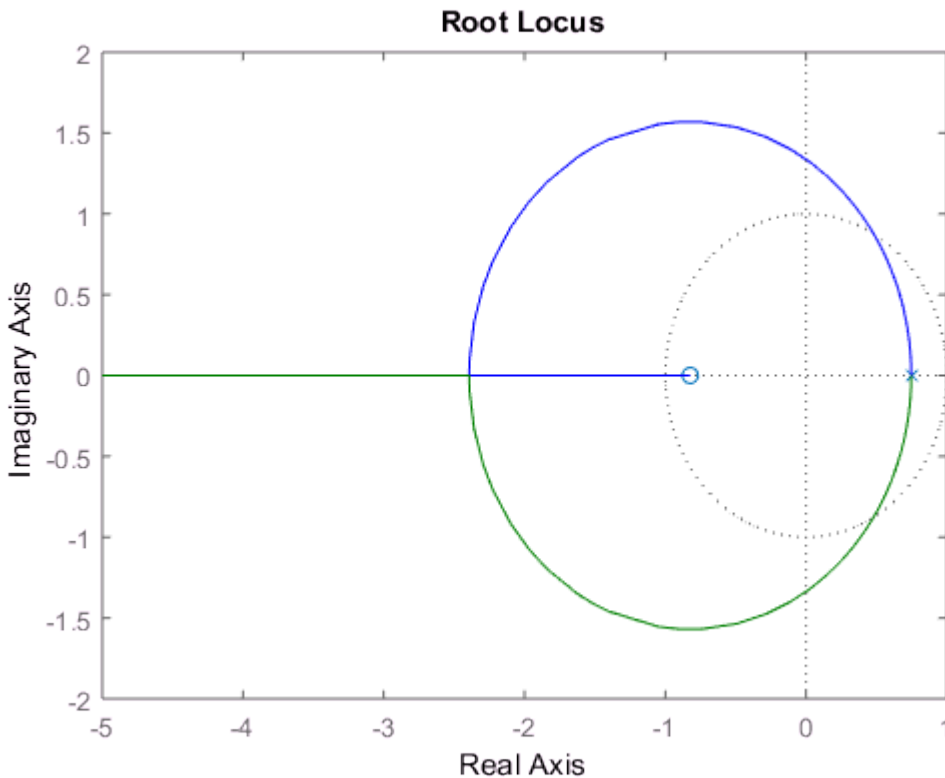
```
rlocus(g)
```



Resposta: Para o sistema acima, temos que, para  $K = 0$ , o sistema terá valor puramente real em -8, já com o aumento do ganho  $K$ , **tanto para positivo como negativo**, temos a existência de pólos complexos tendendo ao infinito. Conforme o ganho  $K$  aumenta e a parte imagiária dos pólos aumenta em módulo a resposta do sistema fica com maior sobrelevação.

2.2 Use o comando `rlocus` e avalie o efeito do aumento do ganho  $K$  nos polos do sistema discreto em malha fechada, ou seja, o efeito de  $K$  em  $1 + KG(z) = 0$  (gd é  $G(z)$ ).

```
rlocus(gd)
```



Resposta: Para o sistema acima, temos que o aumento de  $K$  vai incrementando o sobressinal e o tempo de acomodação. Além disso, o sistema ficará instável com um pólo tendendo ao infinito.

2.3 Para que valores de  $K$  o sistema discreto é estável?

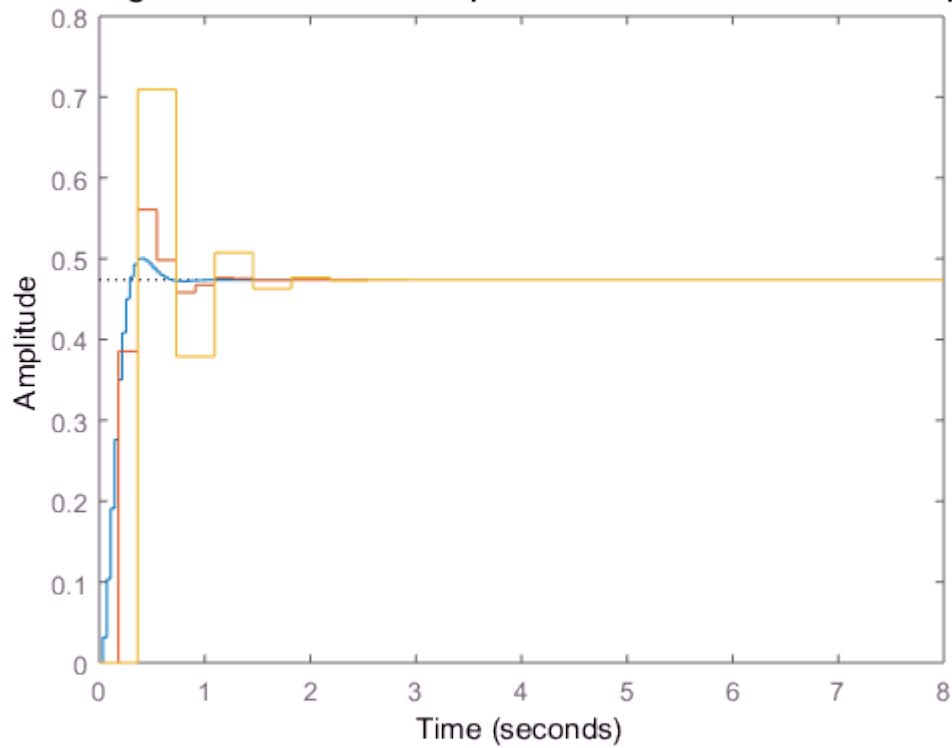
Resposta: Como para estabilidade os pólos devem estar dentro do círculo unitário, analisando o  $rlocus(gd)$  podemos perceber que o sistema será estável para  $0 < k < 17.2$ .

### Atividade 3 - Avaliação do efeito do tempo de amostragem

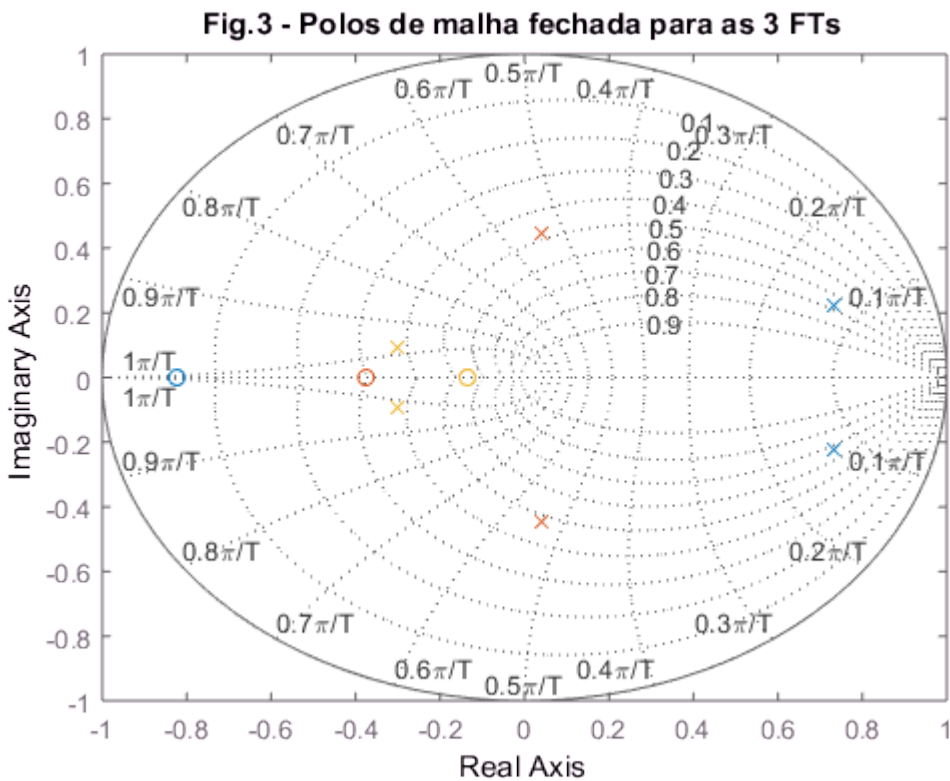
Os comandos abaixo geram 3 FTs discretas, cada uma com um tempo de amostragem diferente e crescente. Escolha estes valores de modo a ter respostas estáveis mas com sobrelevação crescente.

```
T1=[1 5 10]*T; % Escolher valores crescentes
gd1=c2d(g,T1(1));
gd2=c2d(g,T1(2));
gd3=c2d(g,T1(3));
m1=feedback(gd1,1);
m2=feedback(gd2,1);
m3=feedback(gd3,1);
figure;
step(m1,m2,m3);title('Fig.2 - Resposta ao degrau em malha fechada para as 3 FTs com diferentes
```

esposta ao degrau em malha fechada para as 3 FTs com diferentes tempos de



```
figure
pzmap(m1,m2,m3);title('Fig.3 - Polos de malha fechada para as 3 FTs');grid
```

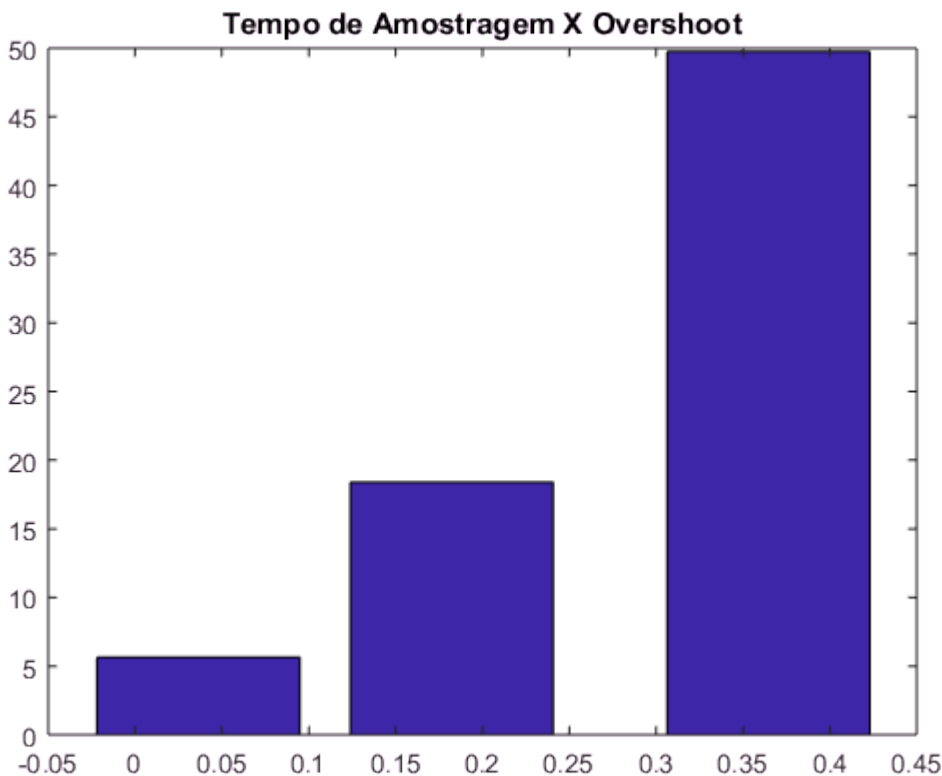


3.1 Compare a localização dos polos e a resposta ao degrau e explique a relação da localização dos polos no plano z e a respectiva resposta ao degrau em termos de sobrelevação. Dica: observe as curvas de amortecimento constante.

Resposta: Para a situação acima, temos que, ao aumentarmos o tempo de amostragem, o sistema em malha fechada ficará mais instável. Nesse sentido, quanto **mais afastado os polos estarão**, temos uma região maior sobrelevação com menor tempo de amortecimento. Para fins comparativos, a primeira FT de cor azul terá 5.71% de sobrelevação enquanto a terceira FT de cor amarela terá 49.74%.

3.2 Faça um gráfico de barras dos tempos de amostragem versus a sobrelevação para os três casos acima, escrevendo as linhas de código abaixo.

```
S1=stepinfo(m1);  
S2=stepinfo(m2);  
S3=stepinfo(m3);  
UP=[S1.Overshoot S2.Overshoot S3.Overshoot];  
bar(T1,UP)  
title('Tempo de Amostragem X Overshoot')
```



#### Atividade 4 - Avaliação da sintonia de um controlador contínuo discretizado

Usualmente se projeta os controladores usando FTs contínuas, e depois se discretiza o controlador para a implementação controlando uma planta contínua, como mostrado na figura da atividade 2.

Os comandos abaixo aproximam a FT de ordem 2 por uma de ordem 1, como feito na aula 6. A seguir, é feita a sintonia de um controlador PI usando o método lambda, com um valor de lambda que deve ser escolhido e justificado (ver relatório 6). Lembre-se que lambda é a constante de tempo de malha fechada, e deve ser menor que a constante de tempo de malha aberta.

```
lambda=0.1; %Escolher lambda
[y,t]=step(g);
delay=t(sum(y<0.1*y(end)));
tau=t(sum(y<0.63*y(end)))-delay;
Kp=y(end);
g1=tf(Kp,[tau 1], 'InputDelay',delay)
```

g1 =

$$\exp(-0.06s) * \frac{0.8996}{0.2 s + 1}$$

Continuous-time transfer function.

```
C=sintonia(g1, 'PI', 'lam',lambda)
```

C =

$$K_p + K_i * \frac{1}{s}$$

with Kp = 2.56, Ki = 11.1

Continuous-time PI controller in parallel form.

```
Cd=c2d(C,T)
```

Cd =

$$K_p + K_i * \frac{T_s}{z-1}$$

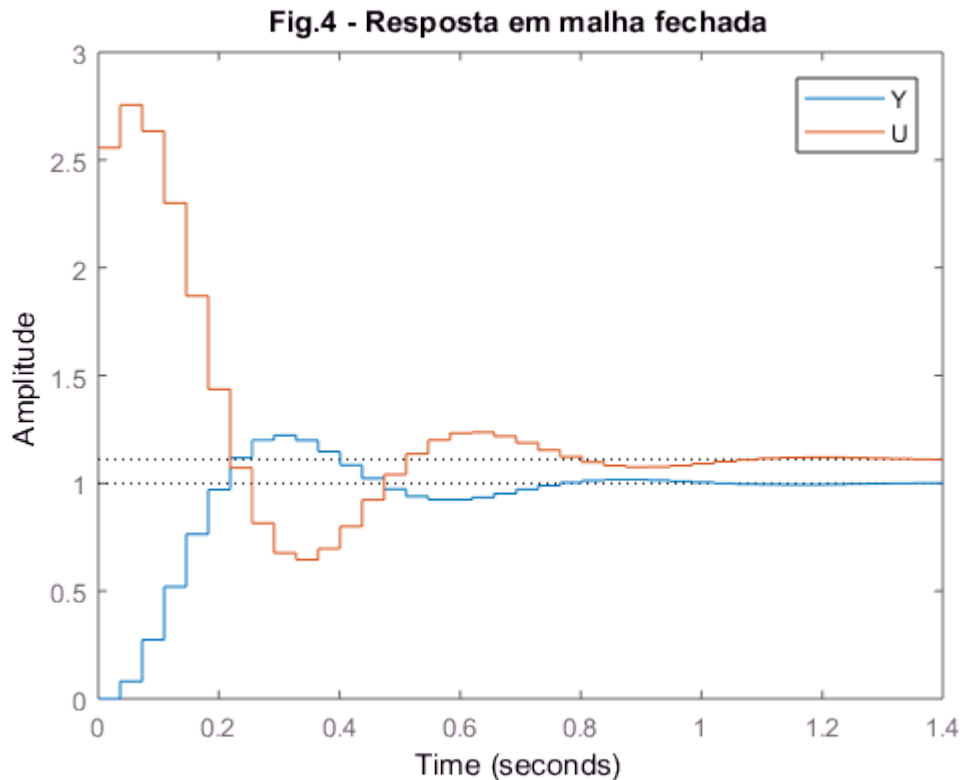
with Kp = 2.56, Ki = 11.1, Ts = 0.0365

Sample time: 0.036463 seconds

Discrete-time PI controller in parallel form.

```
Mry=feedback(Cd*gd,1);
Mru=feedback(Cd,gd);
step(Mry,Mru);title('Fig.4 - Resposta em malha fechada');legend('Y', 'U')
```





4.1 Explique a Fig.4 e os passos que foram seguidos desde o projeto (usando  $G(s)$  e escolhendo  $\lambda$ ) até a implementação deste controlador na forma discreta.

Resposta: Para o sistema acima, temos que, primeira foi pensado em um  $\lambda$  que pudesse ser menor que a constante de tempo em malha aberta. Nesse sentido, temos que, como nossa constante, de acordo com a figura 1, tem valor de aproximadamente 0,2 foi possível escolher nosso  $\lambda$  como 0,10. Tal escolha propicia um sinal com sobre-elevação aceitável e com rápido tempo de estabilização. Após isso, o controlador foi projetado em formato contínuo com cálculo de suas variáveis de interesse e depois foi feita a discretização do sistema pelo comando "c2d".

4.2 Explique como avaliar este controlador para tempos de amostragem maiores. Pode usar código para ilustrar.

Resposta: Temos que, com o aumento do tempo de amostragem, o sistema discreto tenderá a instabilidade. Dito isto, foram feitos testes para definir o tempo de amostragem possível. É possível perceber que valores de  $T$  muito grandes (como  $T \cdot 10$ ) fazem com que o sistema seja instável. Nesse sentido, foi escolhido  $T \cdot 5$  para a demonstração de um tempo de amostragem maior. Ao compararmos a figura 4 com a figura 5, é possível perceber que a última terá um comportamento mais oscilatório, apresentando características conjuntas piores.

```
lambda=0.1; %Escolher lambda
[y,t]=step(g);
delay=t(sum(y<0.1*y(end)));
tau=t(sum(y<0.63*y(end)))-delay;
Kp=y(end);
```

```
gd=c2d(g,T*5); %novo gd discretizado com o novo tempo de amostra
gl=tf(Kp,[tau 1], 'InputDelay',delay)
```

g1 =

$$\exp(-0.06*s) * \frac{0.8996}{0.2 s + 1}$$

Continuous-time transfer function.

```
C=sintonia(g1, 'PI', 'lam',lambda)
```

C =

$$K_p + K_i * \frac{1}{s}$$

with Kp = 2.56, Ki = 11.1

Continuous-time PI controller in parallel form.

```
Cd=c2d(C,T*5)
```

Cd =

$$K_p + K_i * \frac{T_s}{z-1}$$

with Kp = 2.56, Ki = 11.1, Ts = 0.182

Sample time: 0.18232 seconds

Discrete-time PI controller in parallel form.

```
Mry=feedback(Cd*gd,1);
Mru=feedback(Cd,gd);
step(Mry,Mru);title('Fig.5 - Resposta em malha fechada');legend('Y', 'U')
```

**Fig.5 - Resposta em malha fechada**

